

# 地球観測実習 電磁気

遠藤 涼      Wu Yifei      B. Anselme  
上嶋先生      小山先生

# 目的

- To understand the basic theory about electromagnetic observation, especially MT method.(比抵抗探查)
- To learn about the equipment and process of field work.
- To analyze data and gain the structure of the measured place.

# 基礎方程式(Maxwell's equations)

$$\nabla \times H = (i\omega\epsilon + \sigma)E \quad : \text{Ampere法則}$$

$$\nabla \times E = -i\omega\mu H \quad : \text{Faraday法則}$$

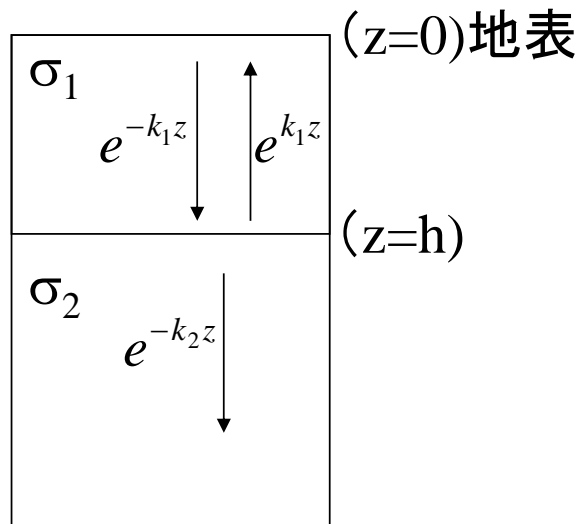
$\sigma$  : 電気伝導度[S/m] ( $1/\sigma = \rho$  : 比抵抗[ $\Omega\text{m}$ ])

$\epsilon$  : (真空)誘電率( $8.854 \times 10^{-12}$  [F/m])

$\mu$  : (真空)透磁率( $4\pi \times 10^{-7}$  [H/m])

# MT法

- 地面で測定された電場/磁場の振幅比: impedance  $Z_{xy}(0) = \frac{E_x(0)}{H_y(0)}$
- →
- 構造: 電気伝導度(比抵抗)、深さ



$$k_i = \sqrt{i\omega\mu\sigma_i}$$

$$\frac{E_x^{(2)}(h)}{H_y^{(2)}(h)} = Z_{xy}^{(2)}(h) = \frac{i\omega\mu}{k_2}$$

例えば  
二層の場合

Forward  
calculation

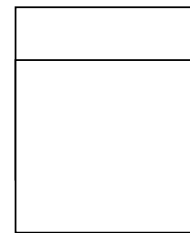
$$\frac{E_x^1(0)}{H_y^1(0)} = \frac{-i\omega\mu}{k_1} \frac{A_1 + B_1}{A_1 - B_1} = \frac{i\omega\mu}{k_1} \frac{1 + \frac{Z_{xy}^{(2)}(h) - \frac{i\omega\mu}{k_1}}{Z_{xy}^{(2)}(h) + \frac{i\omega\mu}{k_1}} e^{-2k_1 h}}{1 - \frac{Z_{xy}^{(2)}(h) - \frac{i\omega\mu}{k_1}}{Z_{xy}^{(2)}(h) + \frac{i\omega\mu}{k_1}} e^{-2k_1 h}}$$

apparent resistivity

見かけ比抵抗

$$\rho_a = \frac{|Z_{xy}(0)|^2}{\omega\mu}$$

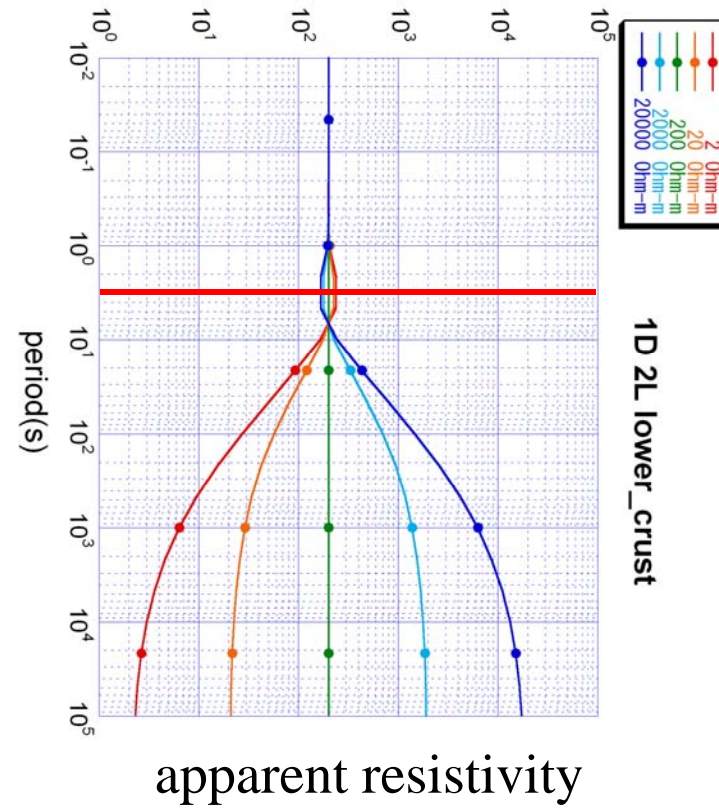
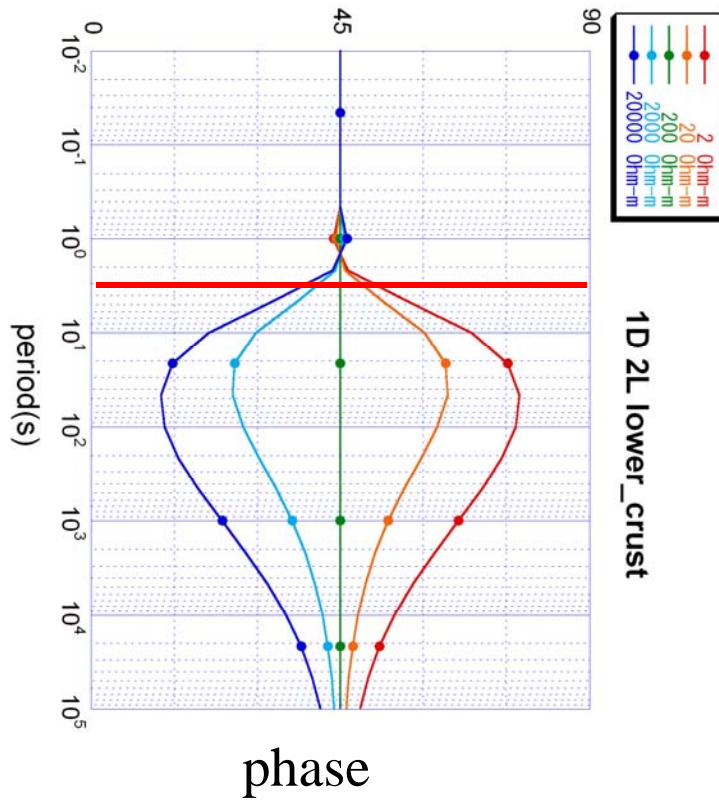
phase [degree]



200Ωm, 15km(→4.5s)

2, 20, 200, 2K, 20KΩm

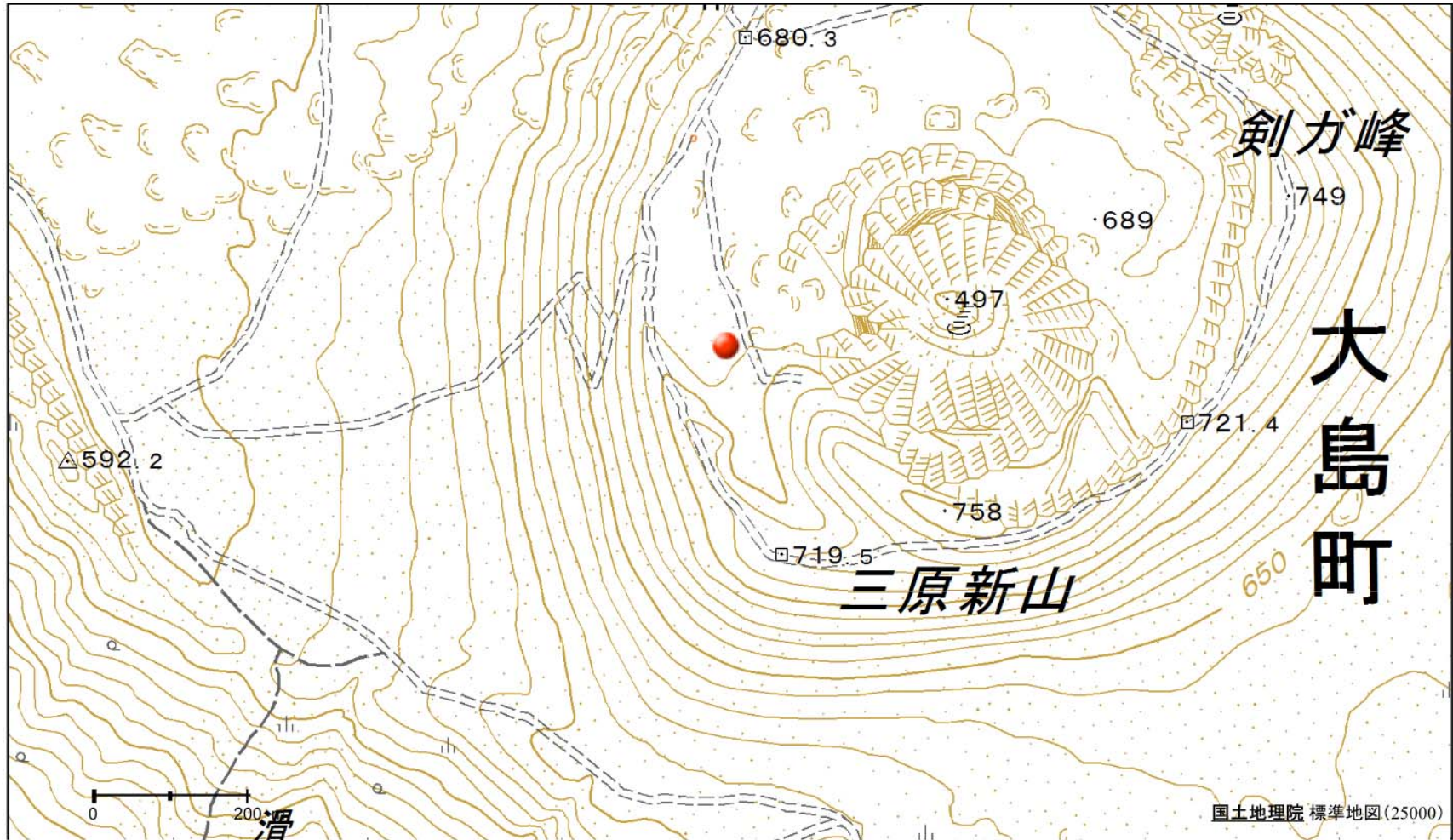
apparent resistivity [Ohm m]



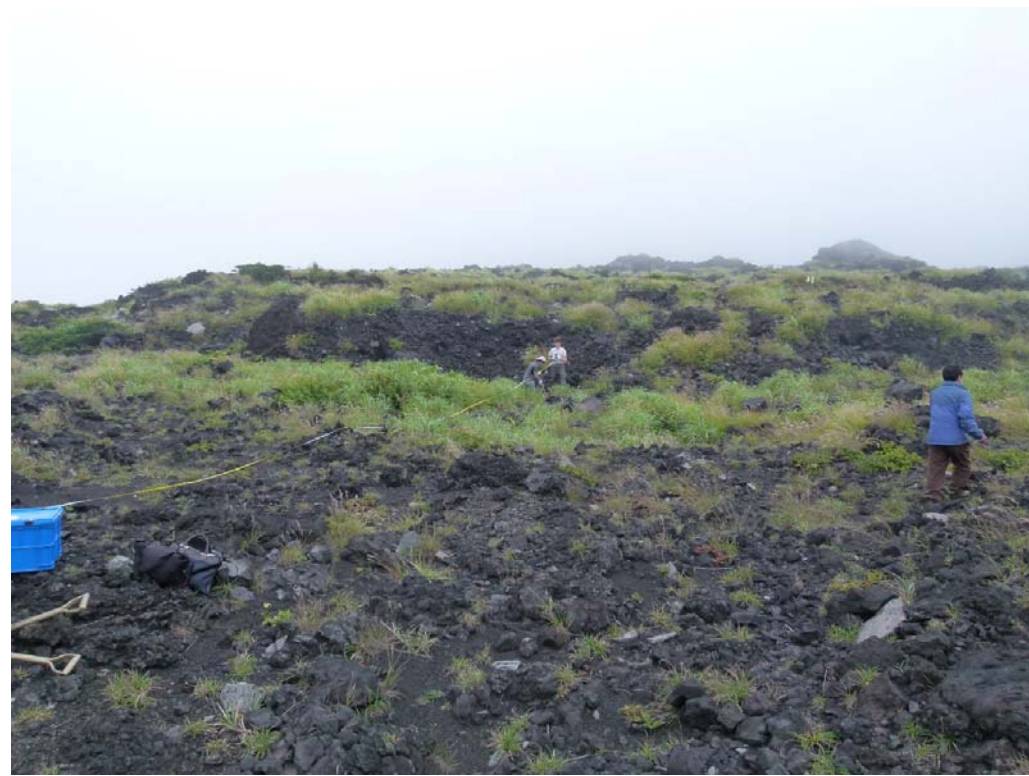
# 観測点

- $34^{\circ}43'35''\text{N}$
- $139^{\circ}23'29''\text{E}$

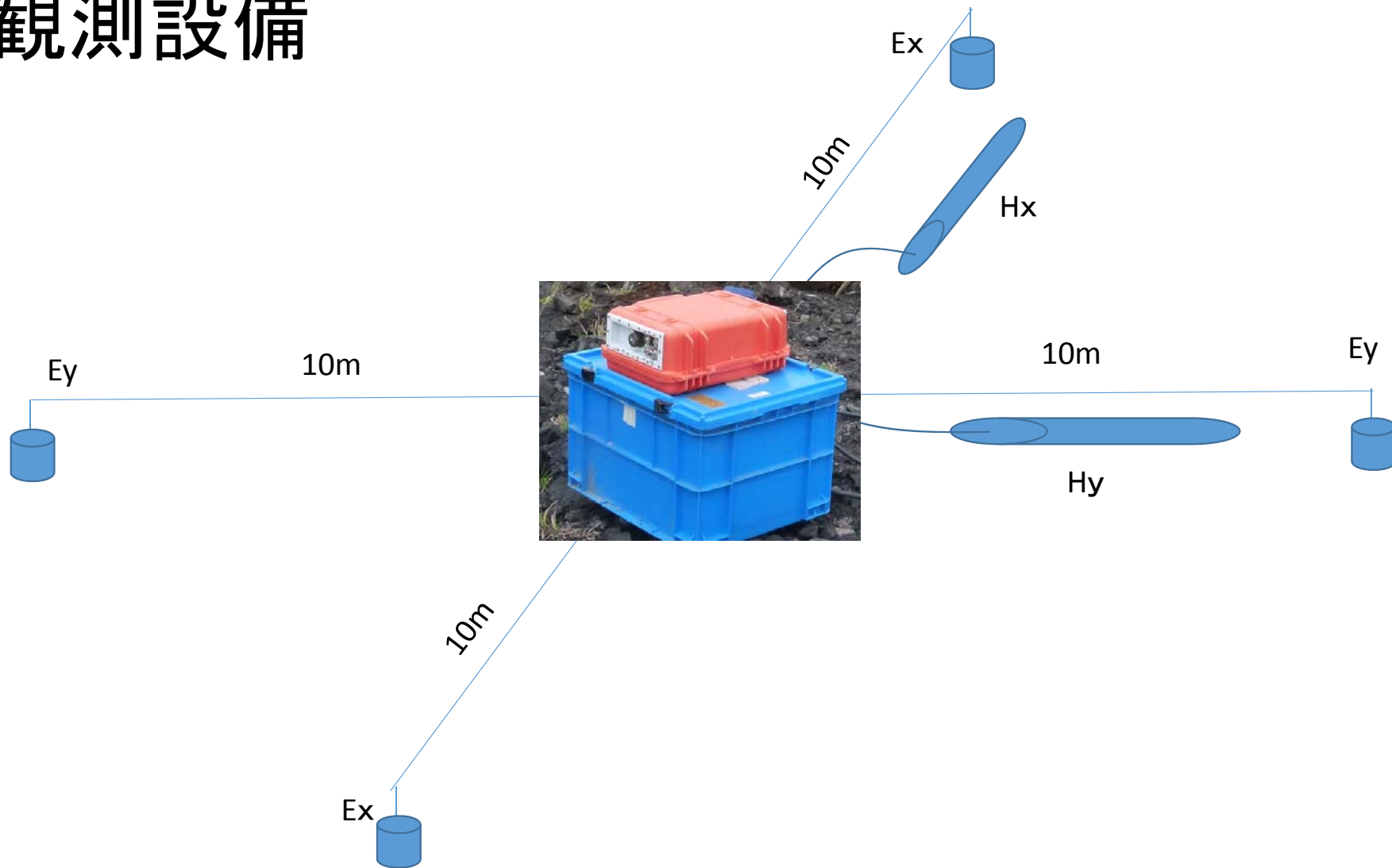
地理院地図  
GSI Maps



# 周りの様子



# 観測設備



# コイルと電極



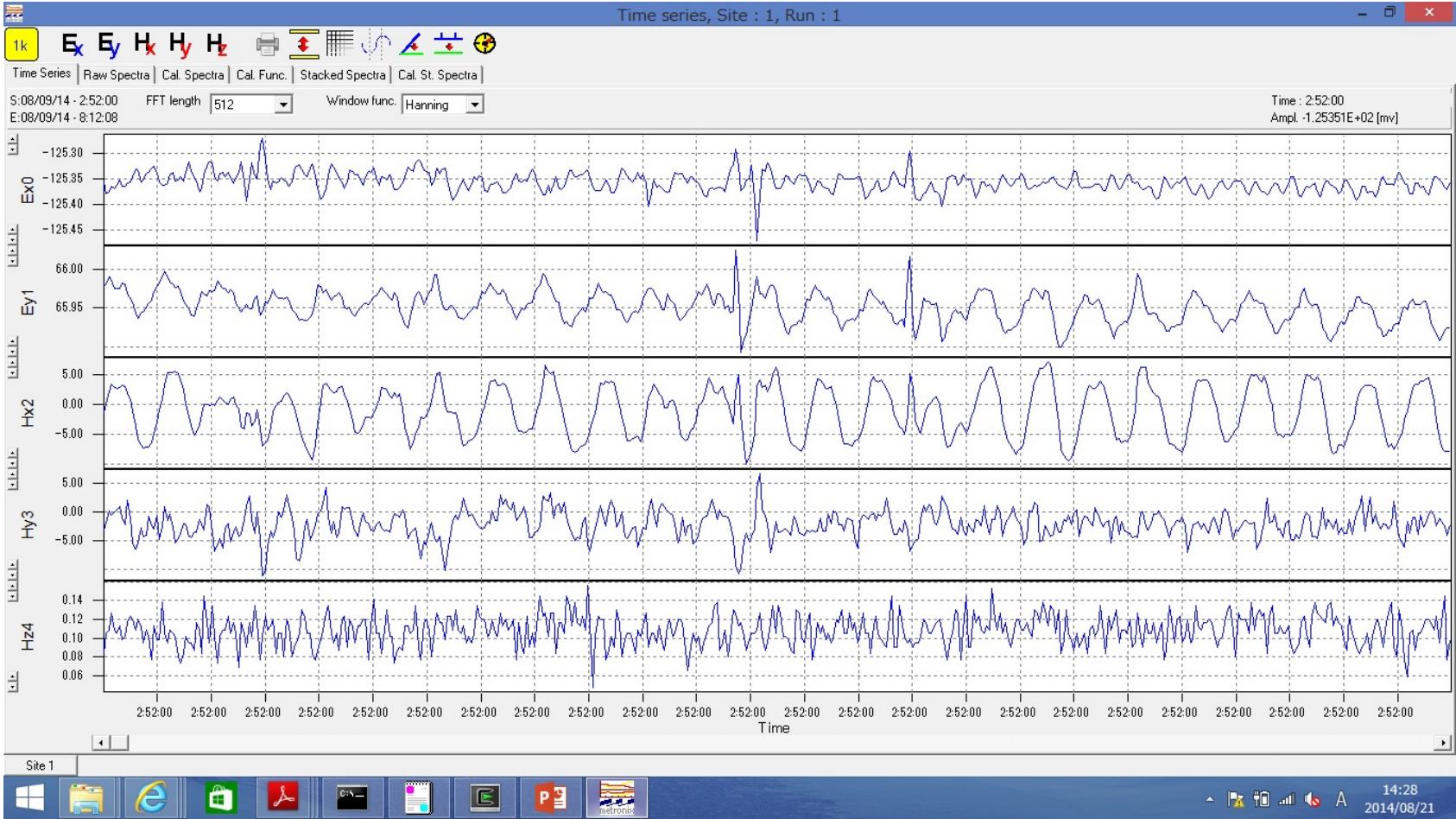
# 出来上がり



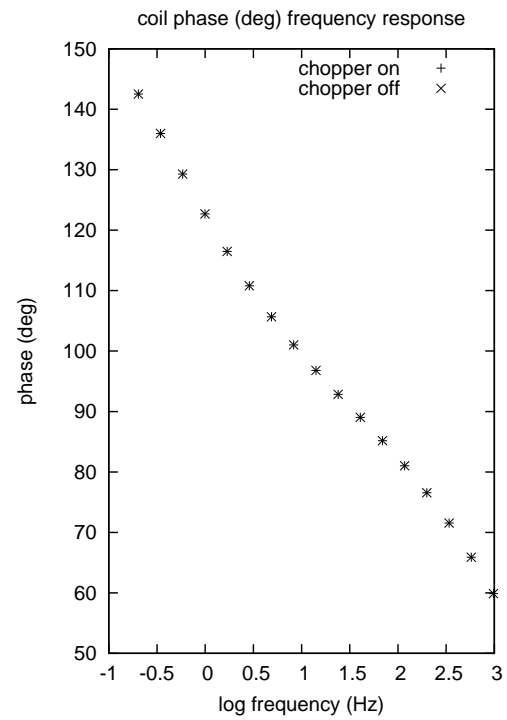
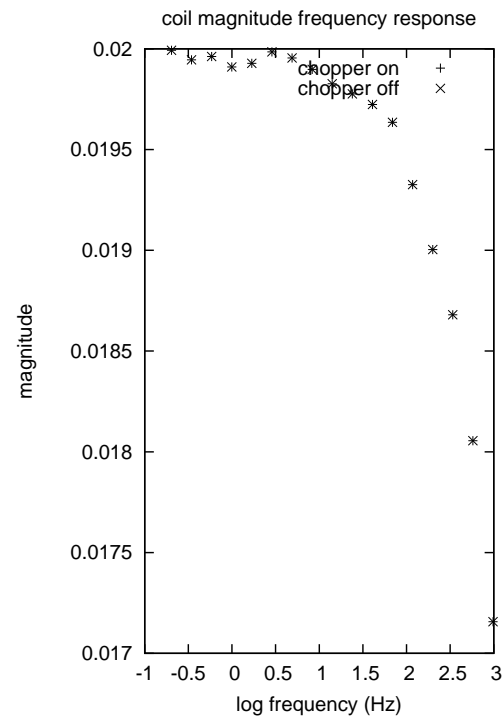
# Data analysis

- What we measured: time series  $E_x(t)$ ,  $E_y(t)$ ,  $H_y(t)$ ,  $H_x(t)$
- We use the program Mapros made by the instruments company
  - FFT yields  $e_x(f)$ ,  $e_y(f)$ ,  $h_x(f)$ ,  $h_y(f)$
- Filter to eliminate the coils frequency response of  $h(f)$

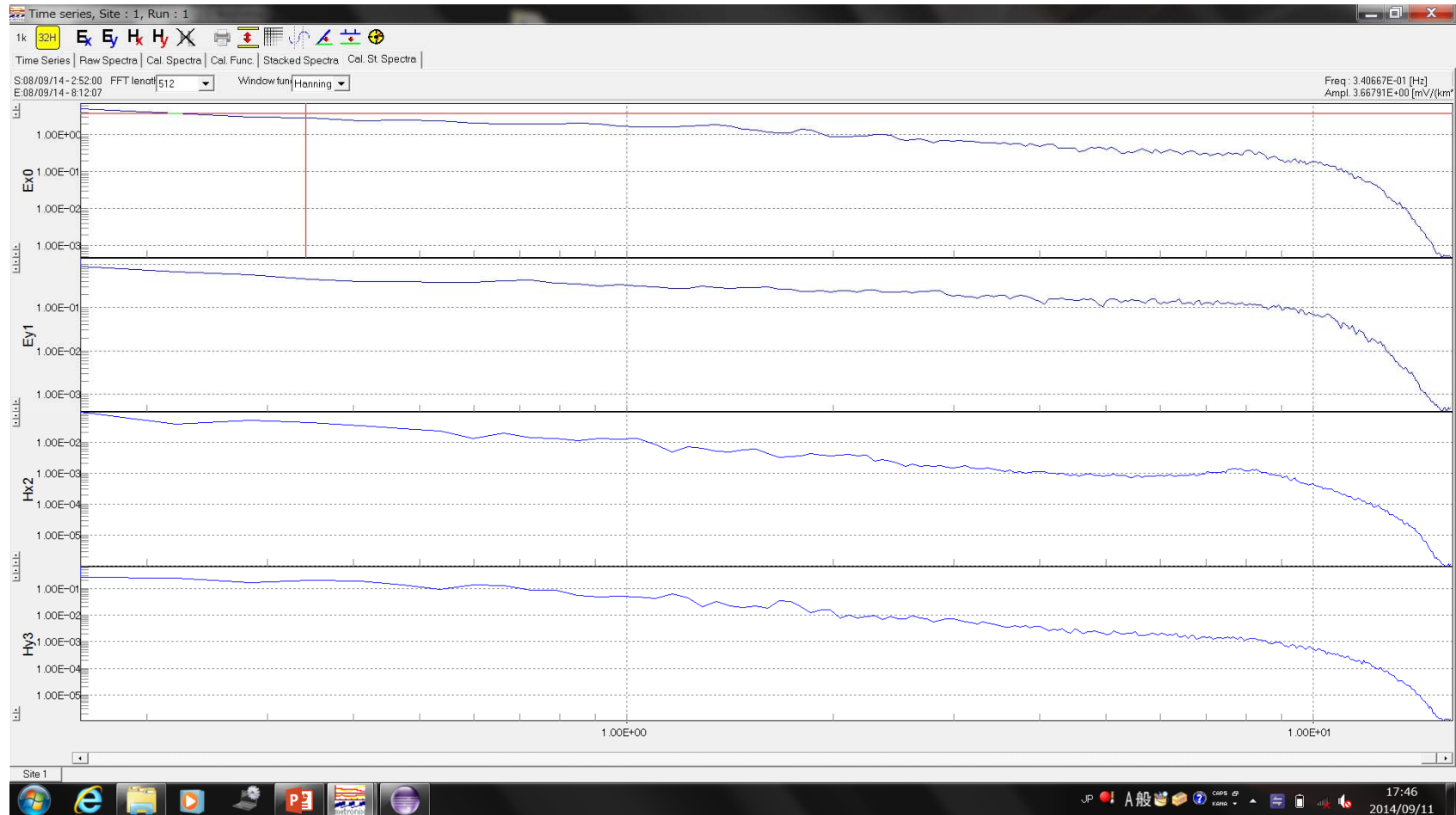
# Time series



# Calibration curves



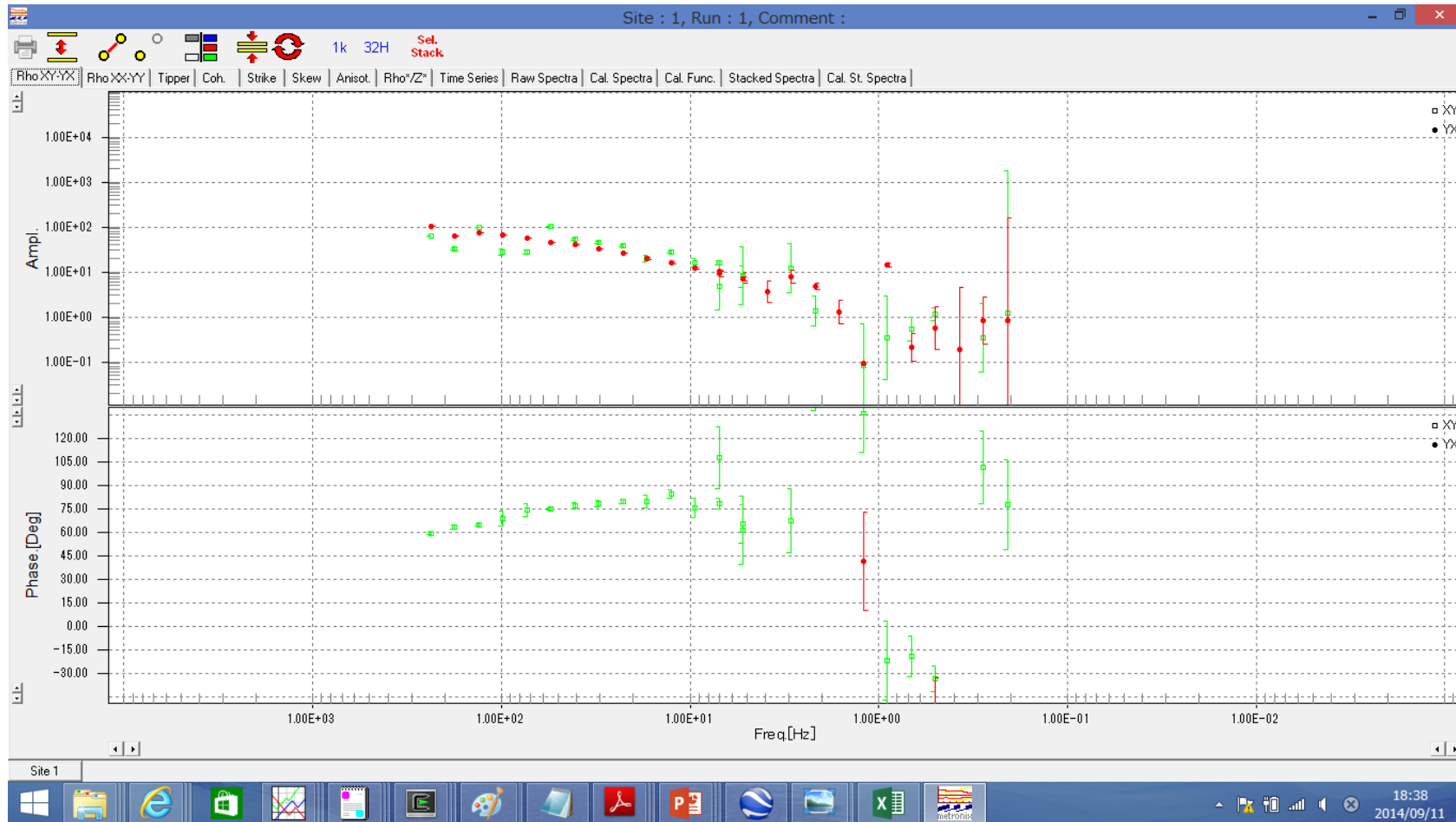
# Frequency domain



# Impedances

- We assume:
  - $e_x = Z_{xx} \cdot h_x + Z_{xy} \cdot h_y$
  - $e_y = Z_{yx} \cdot h_x + Z_{yy} \cdot h_y$
- We neglect  $Z_{yy}$ ,  $Z_{xx}$  hence
  - $e_x/h_y = Z_{xy}(f)$ ,  $e_y/h_x = Z_{yx}(f)$
- ( $Z_{xy}$  and  $Z_{yx}$  both complex numbers)

# Impedances $Z_{xy}$ , $Z_{yx}$



# Data for inversion

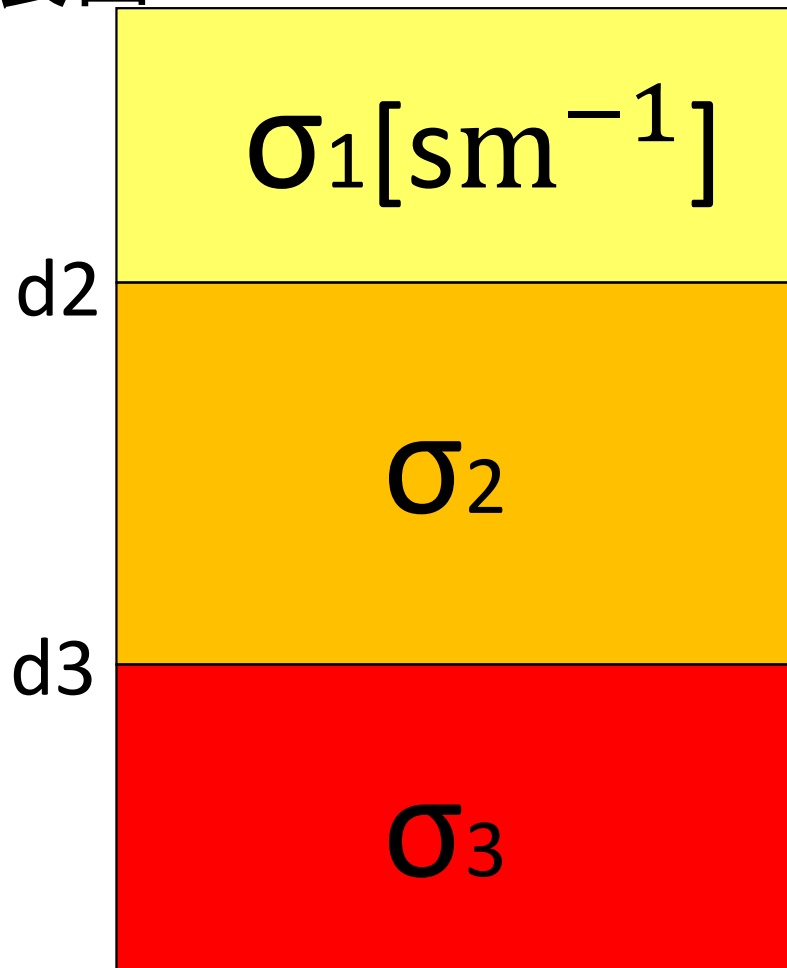
- In 1D, it should be  $Z_{xy} = -Z_{yx}$ . Hence take
  - $Z = (Z_{xy} - Z_{yx})/2$
  - Get the phase and amplitude of  $Z$
  - Compute apparent resistivity  $\rho = |Z|^2/(\omega\mu)$
- Make a code to compute  $\rho(f)$  for a given 1D layered structure: input are the thickness and conductivity of the layers
- Inversion to find the structure that best fits the data  $\rho(f)$

# Inversion

- Compute many  $Z_{yx}$  for 3 layers,  $\sigma$  in  $[10^{-4}-100]\text{sm}^{-1}$ ,  $d$  in  $[10-500]\text{m}$ . Choose to minimize  $\sum(Z-Z_{yx})^2$ 
  - Frequency  $f$  in  $[1-250]\text{Hz}$
  - How to choose  $\sigma$  range?
- → Estimated from the apparent resistivity curve and typical range in the crust
  - How to choose  $d$  range?
    - → length scale is  $d_{\text{skin}} = \sqrt{2/\sigma/\mu/\omega}$
  - Using  $10(\Omega\text{m})$  and  $1\text{Hz}$ , max  $d_{\text{skin}}$  is  $1.59\text{km}$

# 地下構造の推定

地表面



地下構造の

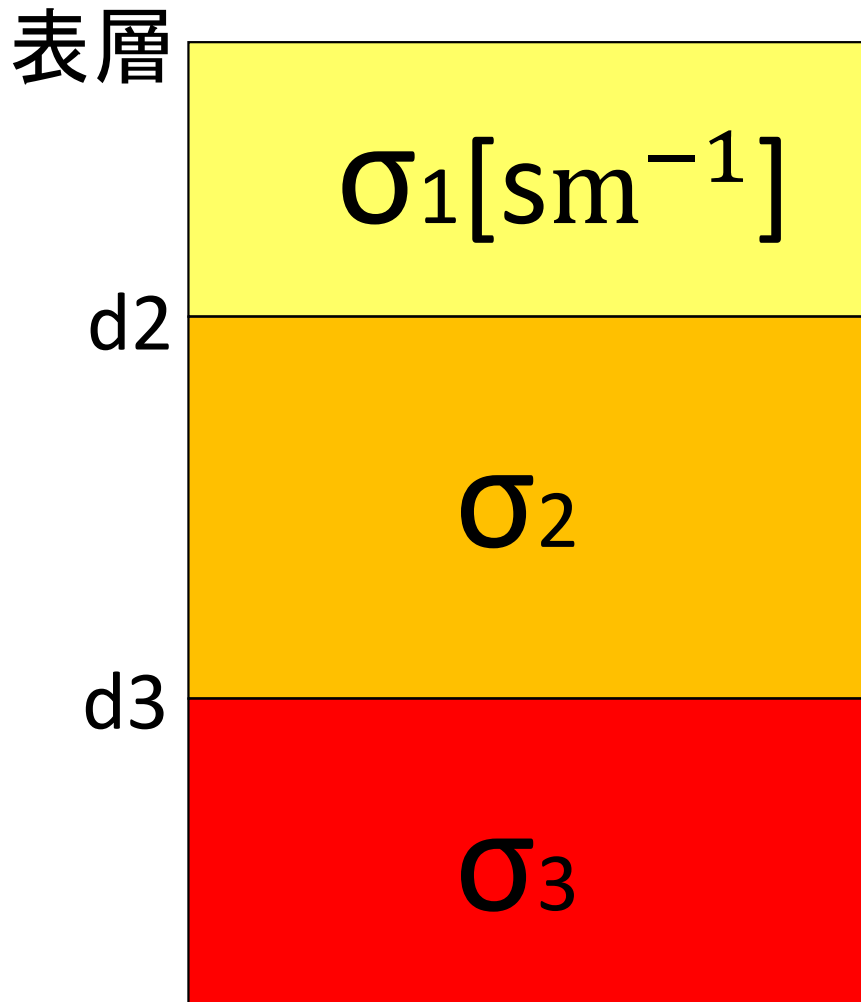
- ・層数( $j=2, 3$ )
- ・境界の深度( $d(j)$ )
- ・各層の電気伝導度( $\sigma(j)$ )  
( $= 1 / (\text{比抵抗 } \rho_a)$ )

を変化させ、見かけ比抵抗の理論値を計算



見かけ比抵抗の観測値と理論値の差分の最小2乗和を計算

# 地下構造の推定



<手法>

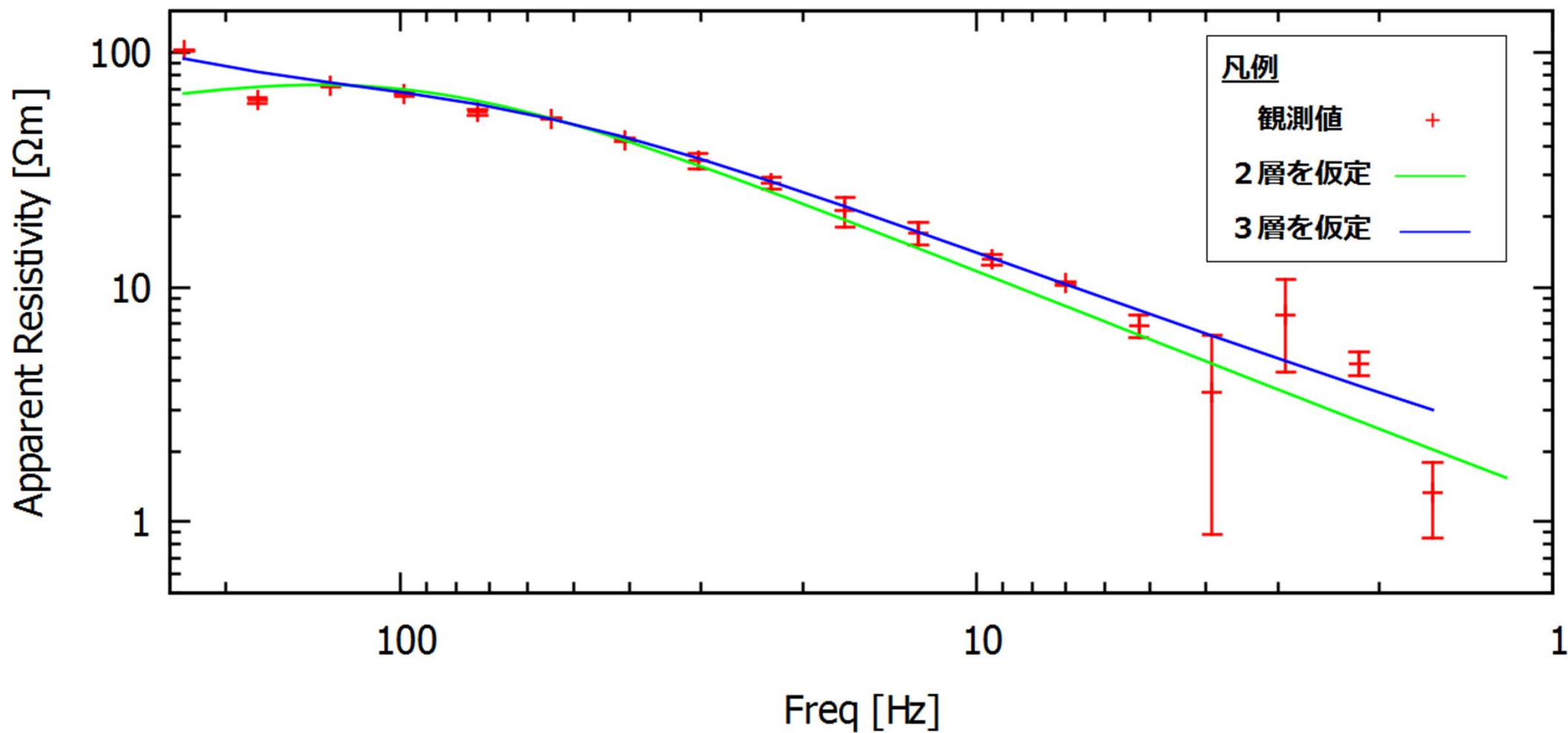
$$\sum_j \left( \frac{\rho_{a\_the}(\omega_j) - \rho_{a\_obs}(\omega_j)}{\varepsilon_j} \right)^2$$

$$\ast \varepsilon_j = \frac{2 |Z_{yx}| \Delta Z_{yx}}{\mu \omega_j}$$

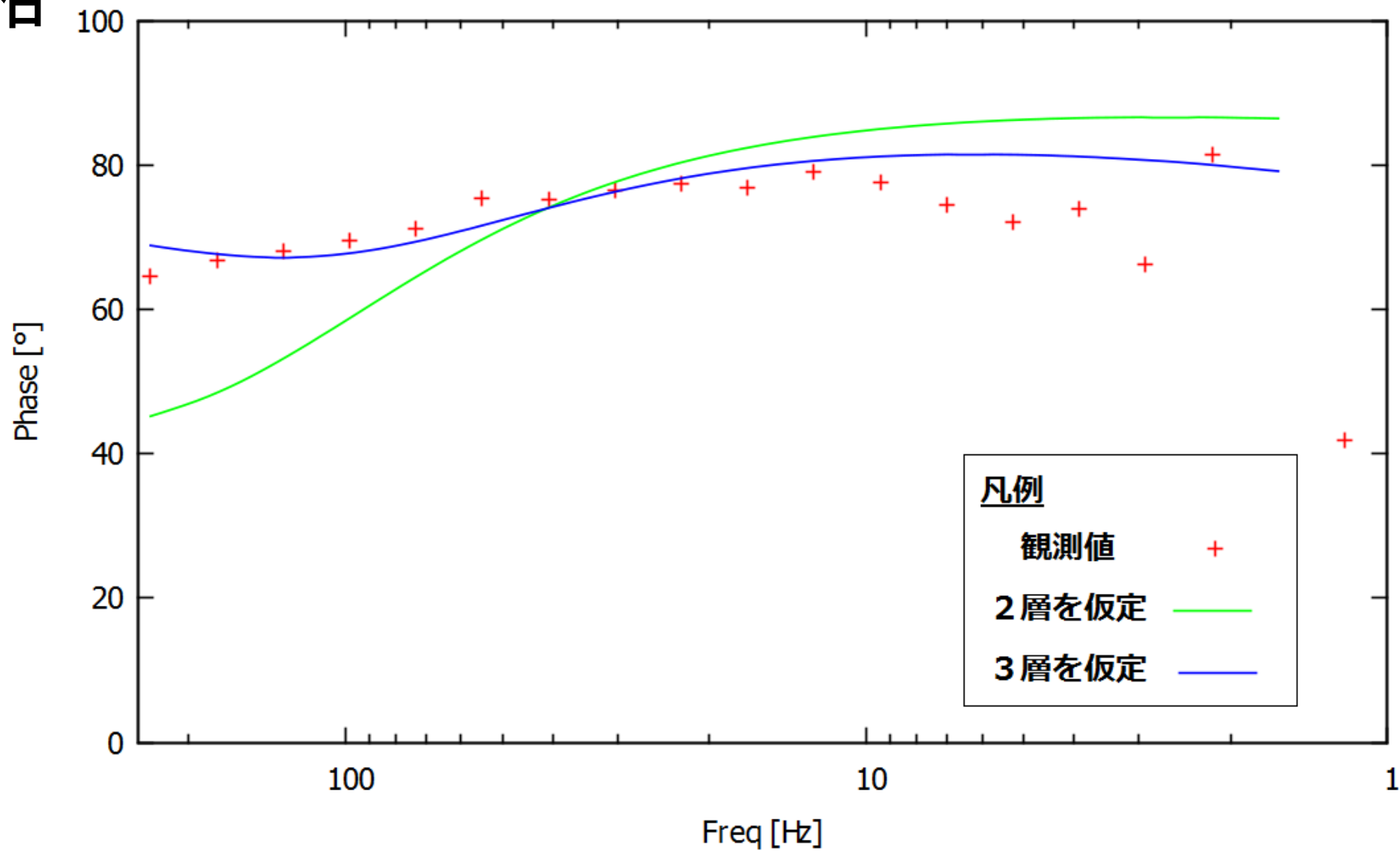
$$\sigma : 10^{-4} \sim 10^2 [sm^{-1}]$$

$$d : 10 \sim 500 [m]$$

# 見かけ比抵抗

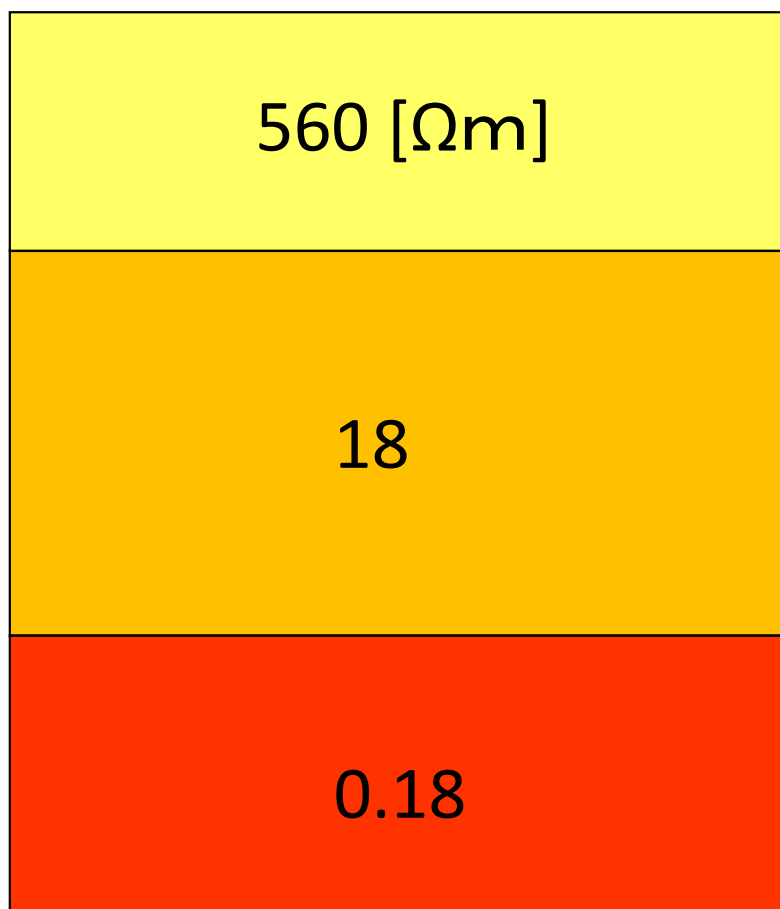


# 位相



# 推定した地下構造

<3層構造を仮定>



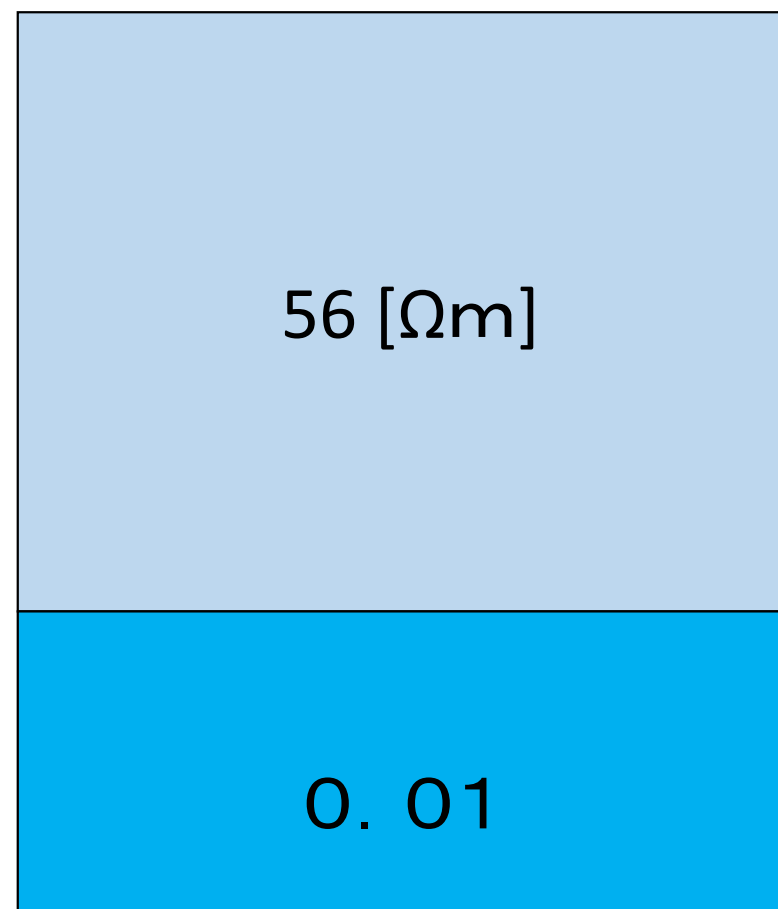
深度

0[m]

150

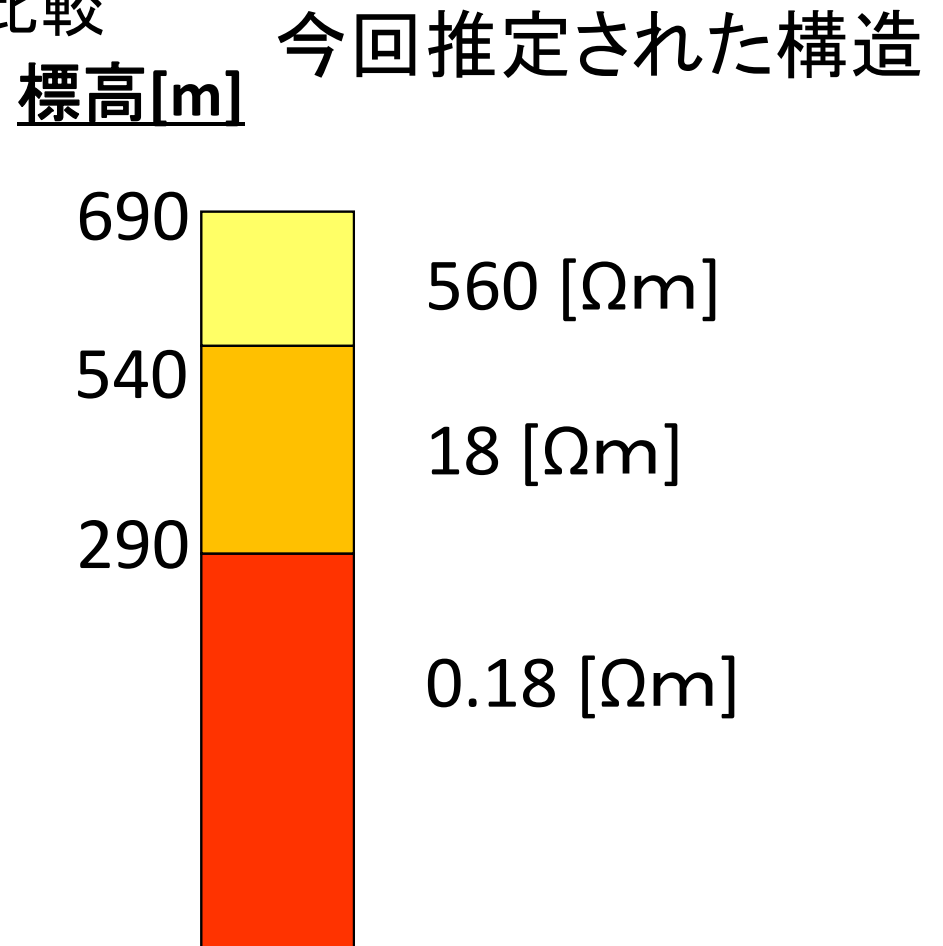
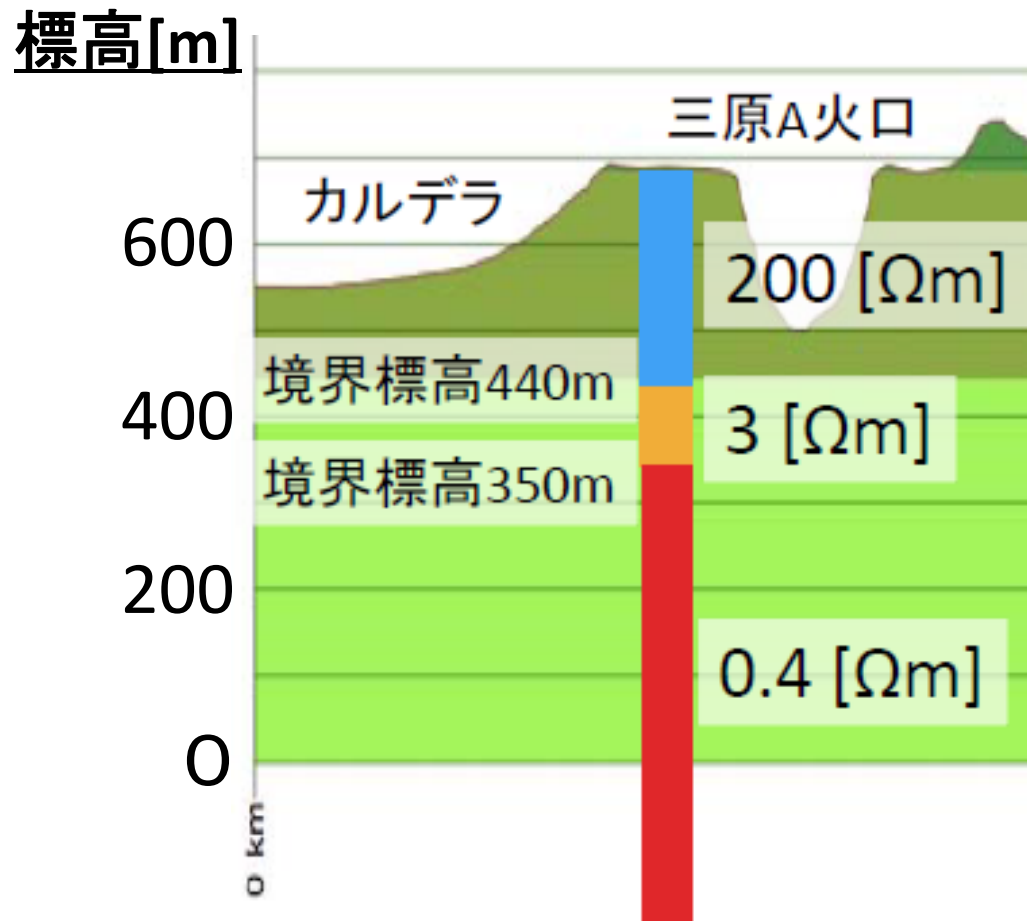
400 380

<2層構造を仮定>

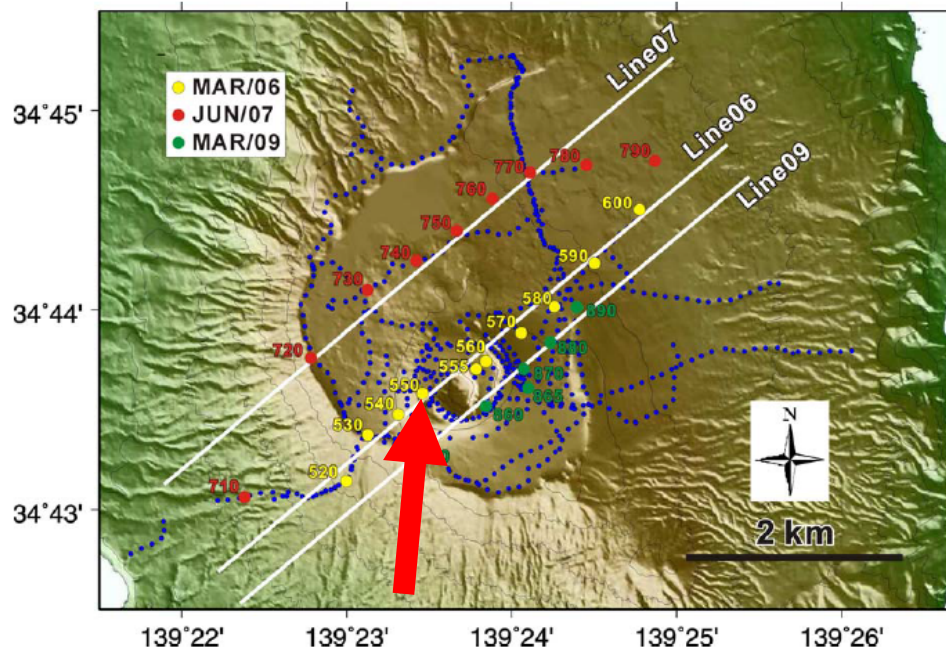


# 地下構造の解釈①

・2011年度の伊豆大島実習との比較

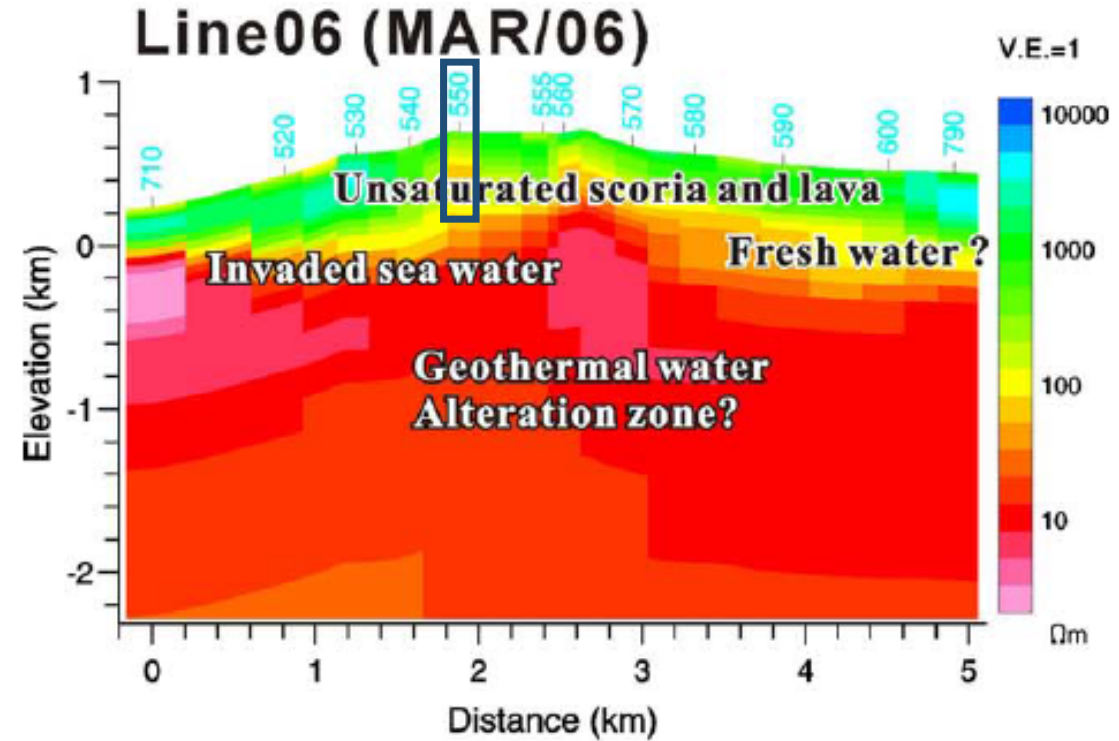


# 地下構造の解釈②



第1図 伊豆大島火山のAMT法測点位置。  
Fig.1 Location map of Izu-Oshima Volcano showing the AMT survey sites.

高倉ほか(2007)との比較



## 今回の観測との数値の違いの原因

- ⇒ 観測時間が短く、長周期の観測記録に問題
- ⇒ 昼間のみの観測であり、ノイズが大きい

# まとめ

- 伊豆大島三原山山頂において、比抵抗探査を行った
- 得られたデータの周波数解析を行い、見かけ比抵抗、位相を求めた。
- 地下内部に複数の層の存在を仮定し、理論値と観測値から、1次元地下構造を推定した
- 推定された1次元地下構造と、先行研究・実習において推定された地下構造との比較を行った。